

(319) ステンレス肉盛溶接部の剥離割れのAE発生特性

川崎技研 水島

今中拓一

I. 緒言

高温、高圧水素環境下で使用される石油精製用直接脱硫塔などの内面には耐食性を確保するため、オーステナイト系ステンレス鋼などが肉盛溶接されることが多いが、これらの肉盛溶接部には、操業を shut down した際に母材と溶接金属の境界近傍に剥離割れの発生が発見された場合があり、近年になって問題視されようになってきた。しかしながら、それに付する完全な応答が確立されていないこともあり、剥離割れに対する事前検知は実操業上重要なと思われる。

本報では、事前検知のための情報を得ることを目的に、オーバレイの剥離割れ中に発生する AE 波を検出し、色々な角度から解析した結果について報告する。

II. 実験方法

$2\frac{1}{4}\text{Cr}-1\text{Mo}$ 鋼の母材の上に 309L 焊極を使用して SAW および ESW にてオーバレイを施した後、 690°C 、30 時間の溶接後熱処理を施す。図 1 に示す剥離割れ試験片を採取し、高温、高圧水素（水素分圧： $150 \text{kg}/\text{cm}^2$ 、温度： 450°C ）のオートクレーフ中に 30 時間曝露した。曝露後速やかに大気中に取立し、室温まで冷卻によって急冷した。急冷後、オーバレイ部表面および境界面に AE センサーを貼り付け、発生する AE 波を測定すると共に、広帯域のデータレコーダーに AE 信号を記録した。同時に、AE の検出を中断して超音波深傷筋を用いて欠陥の発生状況をチェックした。UT の表示は、境界面からの反射エコー高さが 50% になると GAIN の増幅度(db) をもつて行った。

III. 実験結果

図 2 は超音波探傷試験の結果と放冷後 72 時間後の C-scan の結果とを対比した例である。GAIN と C-scan の結果の間によい对应がある。図 3,4 は AE 波の count total および event rate を曝露後の時間に対して示したものであるが、取立直後からかなりの AE が発生している。図 5 は図中に示す時間後に測定した反射エコーの GAIN のマッピングおよび 50 時間後の C-scan の結果を示している。少なくとも、8 時間後までは GAIN の変化は認められない。このことから曝露後取立直後における AE は剥離割れの前兆現象の存在を示唆していると考えられる。

本報では、上記結果の他に、剥離割れの進行と共に発生した AE 波の振幅分布の時間変化や、rise time、広帯域の周波数特性を有する石電型の AE センサーを用いて得られた AE 波の原波形の周波数解析の結果を併せて報告する予定である。

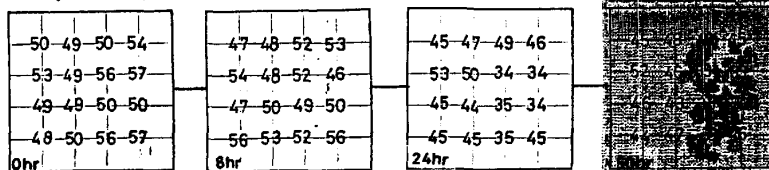


Fig. 5 UT-GAIN(db) & c-scan

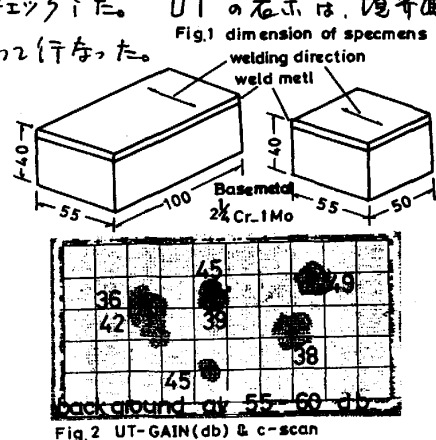


Fig. 2 UT-GAIN(db) & c-scan

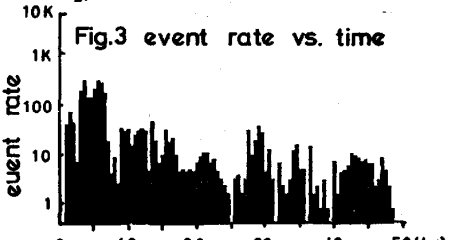


Fig. 3 event rate vs. time

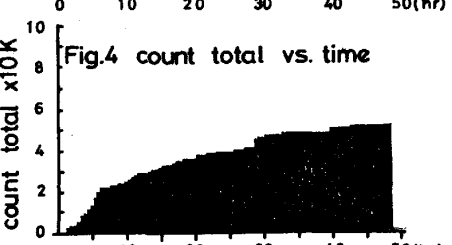


Fig. 4 count total vs. time